

Computergestütztes wissenschaftliches Rechnen

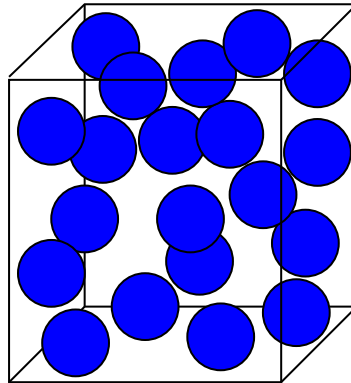
SoSe 2004

Alexander K. Hartmann, Universität Göttingen

29. Mai 2004

6 Molekulardynamik

Integration der Newtonschen Bewegungsgleichungen, d.h. keine Quanteneffekte. Beispiele: Simulation von Biomolekülen oder von Galaxien. Hier: System von Gasatomen in einem Kasten.



6.1 Datenstrukturen

Globale System-Datenstrukturen. Zusammenfassung in einer Struktur, damit bei Übergeben an Unterprogramme nur ein Zeiger übergeben werden muß.

```
/* stores all global system data: */
typedef struct
{
    int          dim;          /* dimension of system */
    double       *l;          /* sizes of system */
    double       *lh;         /* half sizes of system */
    int          N;           /* total number of particles */
    double       tau;         /* integration step size */
    double       tau2;        /* integration step size^2 */
    double       T;           /* temperature */
} glas_system_t;
```

Für jedes Atom braucht man verschiedene Daten:

```

/* stores data of one atom: */
typedef struct
{
    double      m;          /* mass of atom */
    double      sigma;      /* 'size' of atom for LJ */
    double      epsilon;    /* LJ energy parameter */
    double      *x;         /* position of atom */
    double      *v;         /* velocity of atom */
    double      *f;         /* force on atom */
} glas_atom_t;

```

Die Daten aller Atom werden als ein Array von Elementen des Typs `glas_atom_t` gespeichert. Dieses Array wird durch folgendes Unterprogramm erzeugt und initialisiert. Atome werden zufällig verteilt und mit Geschwindigkeit 0 gestartet.

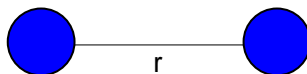
```

/***** glas_setup() *****/
/** Creates and initialises atom data          **/
/** PARAMETERS: (*)= return-paramter         **/
/**      system: global system parameters     **/
/** RETURNS:                                  **/
/**      array of atom data                   **/
/*****/
glas_atom_t *glas_setup(glas_system_t *system)
{
    glas_atom_t *atom;          /* here all atom data is stored */
    int t, t2, d;              /* loop counters */

    atom = (glas_atom_t *) malloc(system->N*sizeof(glas_atom_t));
    for(t=0; t<system->N; t++) /* initialize atoms */
    {
        atom[t].m = 1;
        atom[t].sigma = 1;
        atom[t].epsilon = 1;
        atom[t].x = (double *) malloc(system->dim*sizeof(double));
        atom[t].v = (double *) malloc(system->dim*sizeof(double));
        atom[t].f = (double *) malloc(system->dim*sizeof(double));
        for(d=0; d<system->dim; d++) /* put atom randomly */
        {
            atom[t].x[d] = drand48()*system->l[d];
            atom[t].v[d] = 0;
        }
    }
    return(atom);
}

```

6.2 Potentiale und Kräfte



Lennard-Jones Energie: 2 Atome $\underline{r}_i, \underline{r}_j$ mit Abstand $r = |\underline{r}_i - \underline{r}_j|$

$$V(r) = -4\epsilon \left[\left(\frac{\sigma}{r} \right)^{12} - \left(\frac{\sigma}{r} \right)^6 \right] \quad (1)$$

ϵ : Stärke der Wechselwirkung.

σ : "Größe" der Atome.

r^{-6} Term: van der Waals Wechselwirkung (anziehend), durch Ladungsfluktuationen, die Dipolmomente erzeugen (Dipolfeld $\sim 1/r^3$).

r^{-12} Term: "hard-core" Abstoßung, heuristisch (bequem, da $r^{-12} = (r^{-6})^2$).

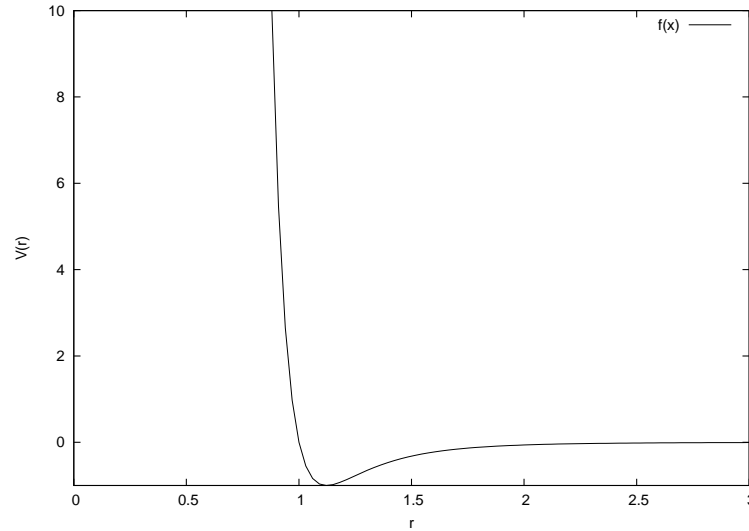


Abbildung 1: Lennard-Jones Potential für $\epsilon = \sigma = 1$.

Minimum bei $r_{\min} = 2^{1/6}\sigma \approx 1.125\sigma$, $V(r_{\min}) = -1$.

Bei Wechselwirkung von verschiedenen Atomsorten A, B . Heuristik:

$$\sigma_{AB} = \frac{\sigma_A \sigma_B}{2}, \quad \epsilon_{AB} = \sqrt{\epsilon_A \epsilon_B} \quad (2)$$

Um Randeffekte zu minimieren und "großes" System vorzugaukeln: *periodische Randbedingungen*. Man stellt sich vor, dass der Kasten in alle Richtungen unendlich oft wiederholt wird \rightarrow bei der Abstandsberechnung muß die *Minimum Image Konvention* angewendet werden: der Abstand zweier Teilchen ist das Minimum zwischen den Abständen aller wiederholten Teilchen.

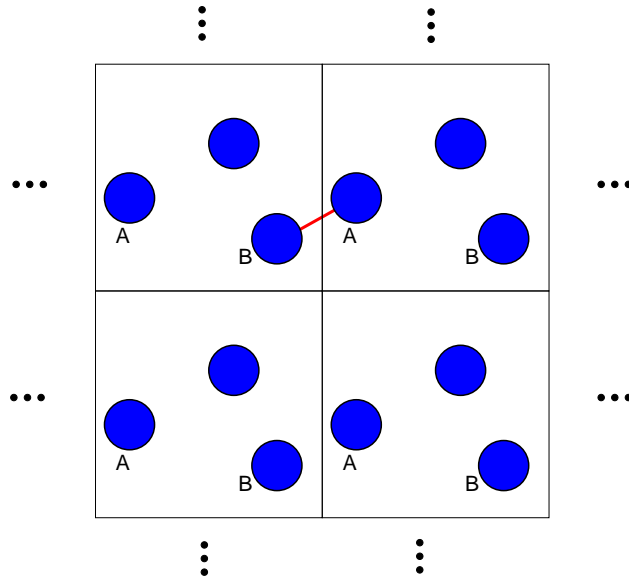


Abbildung 2: Periodische Randbedingungen: das System wiederholt sich in allen Richtungen. Minimum Image Konvention: der kürzeste Abstand zwischen den Teilchen A;B ist durch eine Linie dargestellt.

Kraft von Teilchen j auf Teilchen i :

$$\begin{aligned}
 F_{ij} &= -\underline{\nabla}_i V = -\frac{dV}{dr} \underline{\nabla}_i r = -4\epsilon \left[-12 \frac{\sigma^{12}}{r^{13}} + 6 \frac{\sigma^6}{r^7} \right] \frac{\underline{r}_i}{r} \\
 &= -4 * 6\epsilon \left[2 \left(\frac{\sigma}{r} \right)^{12} - \left(\frac{\sigma}{r} \right)^6 \right] \frac{\underline{r}_i}{r^2}
 \end{aligned} \tag{3}$$

sowie $F_{ji} = -F_{ij}$.

Unterprogramm für Kraft- und Energieberechnung:

```

/***** glas_energy_forces() *****/
/** Calculates potential energy and forces of system **/
/** PARAMETERS: (*)= return-paramter **/
/** system: global system parameters **/
/** atom: atom data **/
/** RETURNS: **/
/** energy **/
/*****/
double glas_energy_forces(glas_system_t *system, glas_atom_t *atom)
{
    double energy = 0.0;
    double epsilon4, sigma2; /* interaction parameters */
    int t, t2, d; /* loop counter */
    double *r; /* difference vector between two atoms */
    double r2, rm6; /* distance^2, distance^-6 */
    double force;

    r = (double *) malloc(system->dim*sizeof(double));
    for(t=0; t<system->N; t++) /* loop over all atoms */
        for(d=0; d<system->dim; d++)
            atom[t].f[d] = 0; /* initialise force */
}

```

```

for(t=0; t<system->N; t++)      /* loop over all pairs of atoms */
  for(t2=t+1; t2<system->N; t2++)
  {
    r2 = 0.0;                      /* calculate distance */
    d = 0;
    while(d<system->dim)
    {
      r[d] = atom[t].x[d] - atom[t2].x[d];
      if(r[d] < -system->lh[d])      /* minimum image convention */
        r[d] += floor(-r[d]/system->l[d]+0.5)*system->l[d];
      if(r[d] > system->lh[d])
        r[d] -= floor(r[d]/system->l[d]+0.5)*system->l[d];
      r2 += r[d]*r[d];
      d++;
    }
    sigma2 = 0.5*(atom[t].sigma+atom[t2].sigma);
    sigma2 = sigma2*sigma2;
    epsilon4 = 4.0*sqrt(atom[t].epsilon * atom[t2].epsilon);
    r2 /= sigma2;
    rm6 = 1.0/(r2*r2*r2);
    energy += epsilon4*(rm6*(rm6-1.0));      /* calculate energy */
    for(d=0; d<system->dim; d++)
    {
      force = 6*epsilon4*(rm6*(2*rm6-1.0))*r[d]/(r2*sigma2);
      atom[t].f[d] += force;                /* and forces */
      atom[t2].f[d] -= force;
    }
  }

free(r);
return(energy);
}

```

6.3 Integration der Bewegungsgleichung

Methode: endliche Differenzen mit Schrittweite τ . Ziel: Integration mit Fehler $O(\tau^3)$. (Höhere Ordnung nicht nötig, da Geschwindigkeiten für $T = \text{const}$ reskaliert werden.)

Ausgangspunkt: $\dot{x} = v$, $\ddot{x} = F/m$. Taylorentwicklung

$$x(t + \tau) = x(t) + v(t)\tau + \frac{1}{2} \frac{F(t)}{m} \tau^2 + O(\tau^3) \quad (4)$$

Gesucht: Gleichung für $v(t)$. Taylorentwicklung:

$$v(t + \tau) = v(t) + \frac{F(t)}{m} \tau + \frac{1}{2} \ddot{v}(t) \tau^2 + O(\tau^3) \quad (5)$$

Term $\ddot{v}(t)$ unbekannt, daher Entwicklung um $t + \tau$:

$$v(t) = v(t + \tau) - \frac{F(t + \tau)}{m} \tau + \frac{1}{2} \ddot{v}(t + \tau) \tau^2 + O(\tau^3) \quad (6)$$

Berechne (5)-(6)

$$v(t+\tau) - v(t) = v(t) - v(t+\tau) + \left(\frac{F(t)}{m} + \frac{F(t+\tau)}{m}\right)\tau + \frac{1}{2}(\ddot{v}(t) - \ddot{v}(t+\tau))\tau^2 + O(\tau^3) \quad (7)$$

Taylorentwicklung von $\ddot{v}(t+\tau) = \ddot{v}(t) + \frac{d}{dt}\ddot{v}(t)\tau + O(\tau^2)$ zeigt: letzter Term ist $O(\tau^3)$, also ist

$$v(t+\tau) = v(t) + \frac{1}{2}\left(\frac{F(t)}{m} + \frac{F(t+\tau)}{m}\right)\tau + O(\tau^3) \quad (8)$$

Gleichungen (4) und (8) heißen das *Velocity-Verlet* Verfahren:

```

/***** glas_velocity verlet() *****/
/** Calculate new positions, velocities and forces    **/
/** using the velocity verlet algorithm              **/
/** Condition: current forces already calculated     **/
/** PARAMETERS: (*)= return-paramter               **/
/**     system: global system parameters            **/
/**     atom: atom data                             **/
/** RETURNS:                                        **/
/**     potential energy                            **/
/*****/
double glas_velocity_verlet(glas_system_t *system, glas_atom_t *atom)
{
    int t, d;                                     /* loop counter */
    double energy;                               /* potential energy */
    for(t=0; t<system->N; t++)                    /* loop over all atoms */
        for(d=0; d<system->dim; d++)
            {
                atom[t].x[d] += atom[t].v[d]*system->tau /* new positions */
                +0.5*atom[t].f[d]*system->tau2/atom[t].m;
                atom[t].v[d] += 0.5*atom[t].f[d]*system->tau/atom[t].m;
            }
    energy = glas_energy_forces(system, atom);    /* new forces */
    for(t=0; t<system->N; t++)                    /* loop over all atoms */
        for(d=0; d<system->dim; d++)
            {
                /* finish new velocities */
                atom[t].v[d] += 0.5*atom[t].f[d]*system->tau/atom[t].m;
            }
    return(energy);
}

```

Testlauf ergibt:

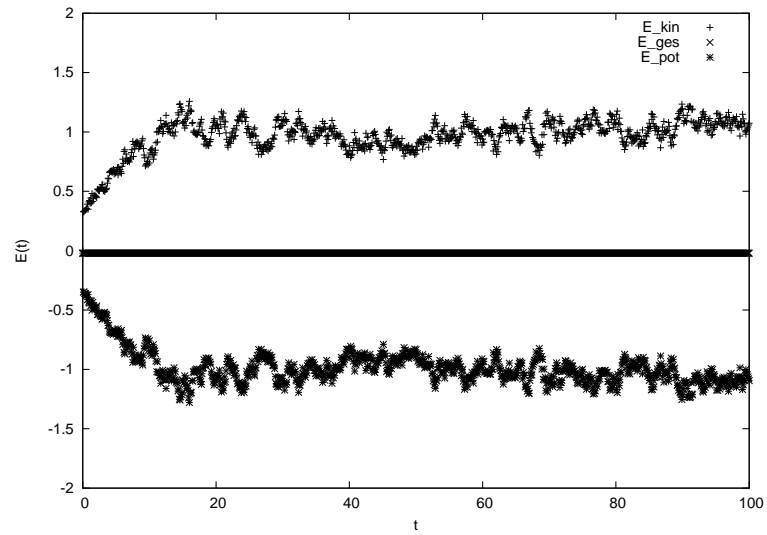


Abbildung 3: Kinetische, Gesamt- und potentielle Energie eines LJ Systems ($L = 10$, 50 Teilchen, $m = 1$, $\epsilon = 1$, $\sigma = 1$, $\tau = 0.001$).

Die Gesamtenergie ist tatsächlich konstant (Konsistenztest)!